

# A FÁZIS PORTE ÁBRÁZOLÁSA

(I)

példák és sok geometria, lineáris algebra

A LAPVETŐ A nyom-determináns diagramm  
ÉS A LINEARIZÁLTAS MÓDSZERE

külön ábrák

①  $\dot{x} = -x + y$

$$\dot{y} = -x - y$$

mivel  $\lambda_{1,2} = -1 \pm i \notin \mathbb{R}$

Ellenünk működő rendszer egyenlete

$$\dot{x} = -x + y = -x - x - y = -x - x - x - \dot{x}$$

$$y = x + \dot{x}$$

$$\ddot{x} + 2\dot{x} + 2x = 0$$

$$\lambda^2 + 2\lambda + 2 = 0 \Rightarrow \lambda_{1,2} = -1 \pm i$$

$$x(t) = c_1 e^{-t} \cos t + c_2 e^{-t} \sin t$$

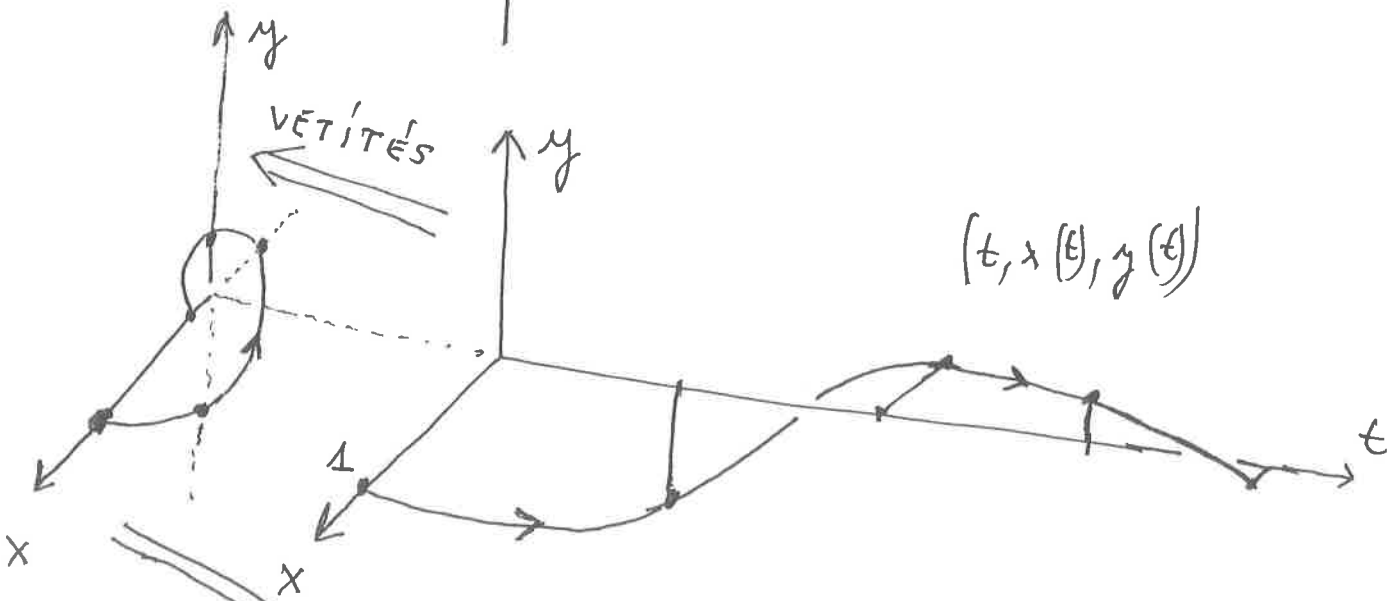
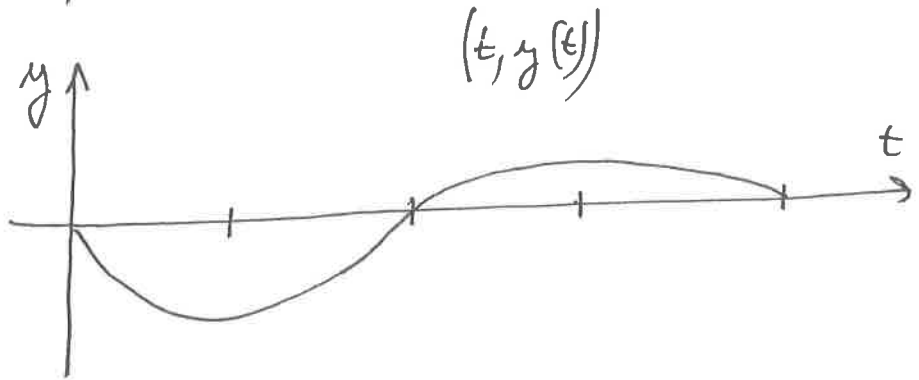
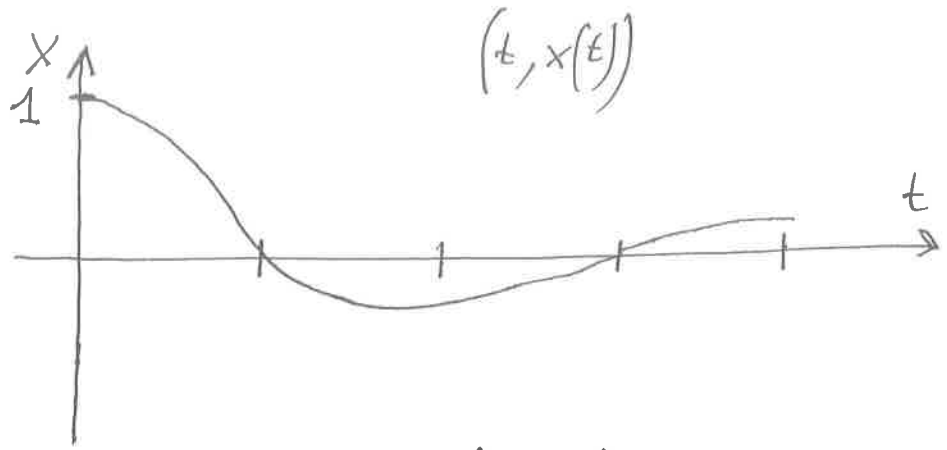
$$y(t) = -c_1 e^{-t} \sin t + c_2 e^{-t} \cos t$$

$$\begin{pmatrix} x(t) \\ y(t) \end{pmatrix} = c_1 e^{-t} \begin{pmatrix} \cos t \\ -\sin t \end{pmatrix} + c_2 e^{-t} \begin{pmatrix} \sin t \\ \cos t \end{pmatrix}$$

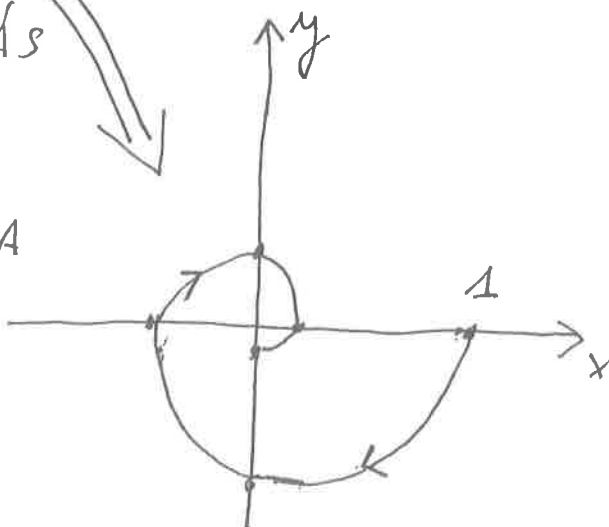
$$\text{ha } \left. \begin{matrix} x(0) = 1 \\ y(0) = 0 \end{matrix} \right\}, \text{ akkor } c_1 = 1, c_2 = 0$$

$$\begin{pmatrix} x(t) \\ y(t) \end{pmatrix} = e^{-t} \begin{pmatrix} \cos t \\ -\sin t \end{pmatrix}$$

$0 \leq t \leq 2\pi$



KIFORGATÁS  
 AZ  $x-y$   
 ALAPSÍKBA



EZ A FÁZISPORTRÉ

$(x(t), y(t))$

használnak

$$\dot{x} = f(x, y)$$

$$\dot{y} = g(x, y)$$

rövid módszer

$$\lambda_{1,2} = d \pm i\beta$$

$$d < 0$$

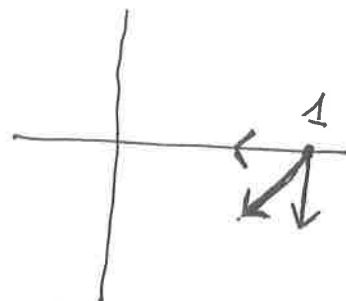
befelé spirális  
az egyik vagy

merev forgó?

elég egy pontban ábrázolni

$$\dot{x} = -x + y$$

$$\dot{y} = -x - y$$



balra forgó

$$\dot{x}(t) = f(x(t), y(t))$$

$$x(0) = x_0$$

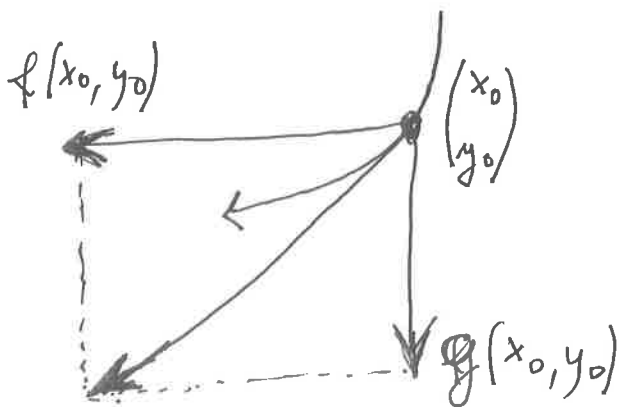
$$\dot{y}(t) = g(x(t), y(t))$$

$$y(0) = y_0$$

adott

a fázispontot bármely pontban ismerjük

az ottani megoldásgömböt érintő vektort



így kezdjük a nyom-determináns

diagram nem elfajult esetben is,

ha  $\lambda_1, \lambda_2 \in \mathbb{R}$

$$C_1 e^{\lambda_1 t} \underline{p}_1 + C_2 e^{\lambda_2 t} \underline{p}_2$$

② elfajult esetek:  $\exists k$ , hogy  $\operatorname{Re} \lambda_k = 0$

④

Ⓐ a lineárisalakú műveletek nem működnek,  
a magasabbrendű tagok is számítások

Ⓑ a nem-első-ígyesen alkalmazott  
numerikus műveletek is bajt okoznak

Ⓒ

$$m \ddot{x} = -kx$$

Newton rugó-egyenlete

Ⓓ

az  $m=1$ ,  $k=1$  esetben

$$\ddot{x} + x = 0 \Leftrightarrow \begin{cases} \dot{x} = y \\ \dot{y} = -x \end{cases} \Leftrightarrow \begin{pmatrix} \dot{x} \\ \dot{y} \end{pmatrix} = \begin{pmatrix} 0 & 1 \\ -1 & 0 \end{pmatrix} \begin{pmatrix} x \\ y \end{pmatrix} \quad \lambda_{1,2} = \pm i$$

$$E(t) = \frac{x^2}{2} + \frac{y^2}{2} \Rightarrow \dot{E}(t) = x\dot{x} + y\dot{y} \Big|_{\substack{\dot{x}=y \\ \dot{y}=-x}} = 0$$

rugóban tárolt + mozgási energia = állandó

$$\text{de: } \begin{cases} \dot{x} = y - x^3 \\ \dot{y} = -x - y^5 \end{cases} \Rightarrow \dot{E}(t) = x\dot{x} + y\dot{y} \Big|_{\substack{\dot{x}=y-x^3 \\ \dot{y}=-x-y^5}} = -x^4 - y^6 < 0$$

Ⓔ

$$E(t) \rightarrow 0 \quad \text{ha } t \rightarrow \infty \quad \begin{pmatrix} x(t) \\ y(t) \end{pmatrix} \rightarrow \begin{pmatrix} 0 \\ 0 \end{pmatrix}$$

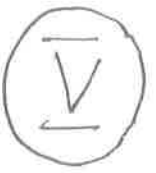
$$\text{de: } \begin{cases} \dot{x} = y + x^3 \\ \dot{y} = -x + y^5 \end{cases} \Rightarrow \dot{E}(t) = x\dot{x} + y\dot{y} \Big|_{\substack{\dot{x}=y+x^3 \\ \dot{y}=-x+y^5}} = x^4 + y^6 > 0$$

Ⓕ

$$E(t) \rightarrow \infty \quad \text{ha } t \rightarrow \infty$$

$$Az \quad \begin{pmatrix} x \\ y \end{pmatrix} \begin{pmatrix} \dot{x} \\ \dot{y} \end{pmatrix} = \begin{pmatrix} x & y \end{pmatrix} \begin{pmatrix} f(x,y) \\ g(x,y) \end{pmatrix}$$

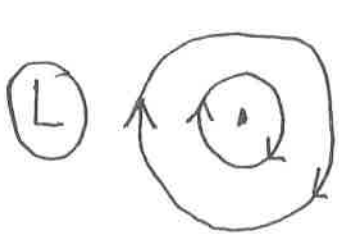
$$\begin{cases} \dot{x} = f(x,y) \\ \dot{y} = g(x,y) \end{cases}$$



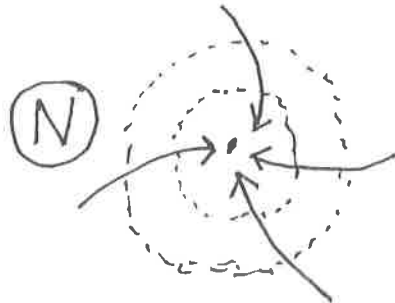
skaláris szorzat, melynek geometriai jelentése

az energia-szintfelület normálvektora / az  $\begin{cases} \dot{x} = f(x,y) \\ \dot{y} = g(x,y) \end{cases}$  differenciálegyenlet trajektóriájának érintővektora

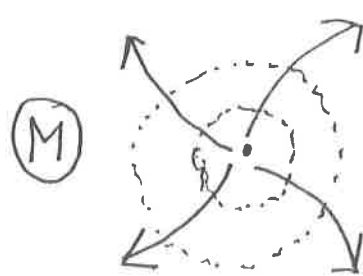
a tetszőlegesen adott  $\begin{pmatrix} x \\ y \end{pmatrix} \in \mathbb{R}^2$  pontban  $\Rightarrow$



centrum



globális vonzás

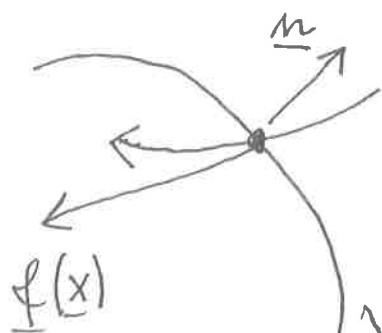


globális taszítás

ÁLTALÁBAN: (E)  $\dot{\underline{x}} = \underline{f}(\underline{x})$  &  $V: \mathbb{R}^n \rightarrow \mathbb{R}$

$$\overset{\text{def}}{\dot{V}_{(E)}} = \frac{d}{dt} V(\underline{x}(t)) \Big|_{t=0} = \langle \underline{\text{grad}} V(\underline{x}(t)), \dot{\underline{x}}(t) \rangle \Big|_{t=0}$$

$$= \langle \underline{\text{grad}} V(\underline{x}), \underline{f}(\underline{x}) \rangle$$



$$\underline{\text{grad}} V(\underline{x}) = \underline{n}$$

$$V(\underline{x}) = \text{const}$$

$$\dot{V}_E < 0$$

kompasszög;  
"befelé" metsz

LEAPFOLDING FÜGGVÉNY FELÜLET

$$\dot{x} = f(x)$$

$$x(0) = x_0$$

(B)

$$x_{k+1} = x_k + h f(x_k), \quad k=0,1,2,\dots$$

(VI)

explicit Euler-módszer,  $h > 0$  lépésközzel

$$\dot{x} = y$$

$$\dot{y} = -x$$

$$\begin{pmatrix} x_{k+1} \\ y_{k+1} \end{pmatrix} = \begin{pmatrix} x_k \\ y_k \end{pmatrix} + h \begin{pmatrix} y_k \\ -x_k \end{pmatrix}, \quad k=0,1,2,\dots$$

$t = kh$ : a numerikus energia

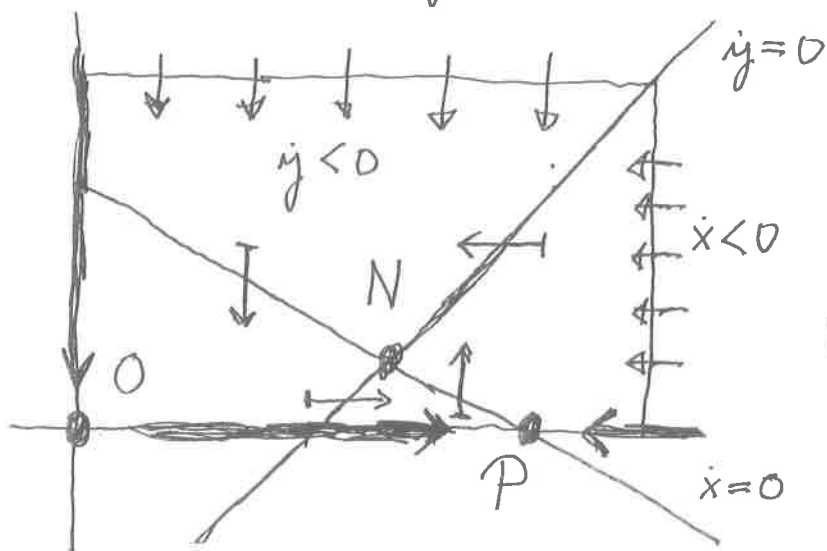
$$\Rightarrow \frac{x_{k+1}^2 + y_{k+1}^2}{2} = (1+h^2) \frac{x_k^2 + y_k^2}{2} \Leftrightarrow E_{k+1} = (1+h^2) E_k$$

$t \in [0, \infty)$ ,  $h$  fix  $\Rightarrow E_N \rightarrow \infty$  ha  $N \rightarrow \infty$

$t \in [0, T]$ ,  $h = \frac{T}{N}$ ,  $T$  fix  $\Rightarrow E_N \rightarrow E_0$  ha  $N \rightarrow \infty$

megőri az energiát az explicit Euler-módszer (?!)  
nem, legalábbis nem "elég jól".

(3) nemcsak az energia lehet Lyapunov-fgv



$$(E) \begin{cases} \dot{x} = x(1 - \frac{x}{2} - y) \\ \dot{y} = y(-1 - y + x) \end{cases}$$

$$O = \begin{pmatrix} 0 \\ 0 \end{pmatrix} \quad P = \begin{pmatrix} 2 \\ 0 \end{pmatrix} \quad N = \begin{pmatrix} 4/3 \\ 1/3 \end{pmatrix}$$

$$J_{\text{arob}_1} = J = \begin{pmatrix} 1-x-y & -x \\ y & -1-2y+x \end{pmatrix}$$

$$J(0) = \begin{pmatrix} 1 & 0 \\ 0 & -1 \end{pmatrix}$$

$$J(P) = \begin{pmatrix} -1 & -2 \\ 0 & 1 \end{pmatrix}$$

$$J(N) = \begin{pmatrix} -2/3 & -4/3 \\ 1/3 & -1/3 \end{pmatrix}$$

$$\lambda_1 = 1 \quad \underline{v}_1 = \begin{pmatrix} 1 \\ 0 \end{pmatrix}$$

$$\lambda_1 = 1 \quad \underline{v}_1 = \begin{pmatrix} -1 \\ 1 \end{pmatrix}$$

$$\lambda_{1,2} = \frac{-1 \pm \sqrt{1 - \frac{4}{3}}}{2}$$

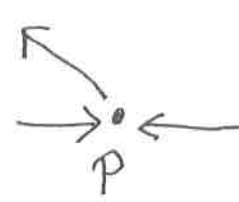
$$\lambda_2 = -1 \quad \underline{v}_2 = \begin{pmatrix} 0 \\ 1 \end{pmatrix}$$

$$\lambda_2 = -1 \quad \underline{v}_2 = \begin{pmatrix} 1 \\ 0 \end{pmatrix}$$

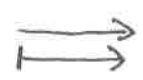
gyengepont

gyengepont

vonzó fókusz

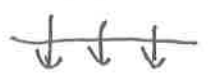


+ forgási irány



nyílak alapján

a nagy téglalap mindent bevon



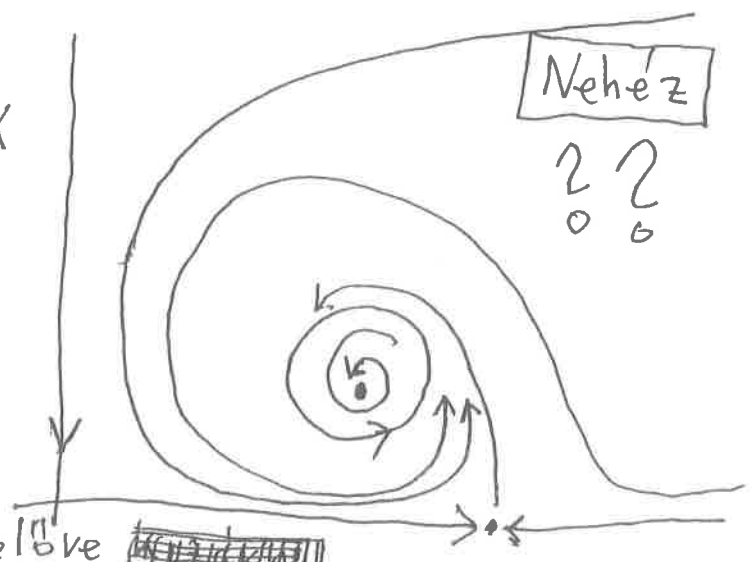
Ljapunov-felület-darabok

Az "N" körül

szelges periodikus

pályát nem tudjuk egyelőre

kizárni. Ehhez nem-lokális módszer kell.



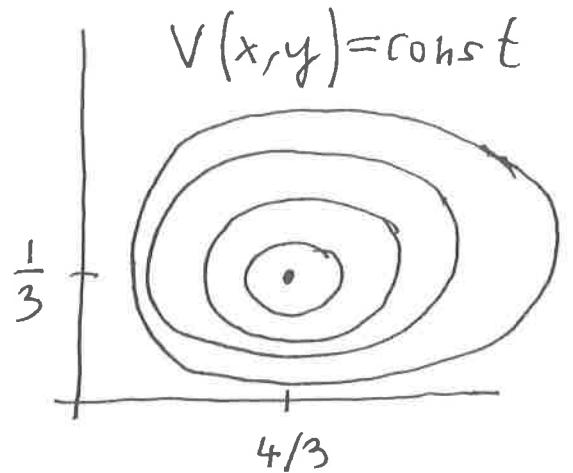
$$V(x,y) = x - \frac{4}{3} \ln x + y - \frac{1}{3} y^2 \quad x > 0, y > 0$$

VIII

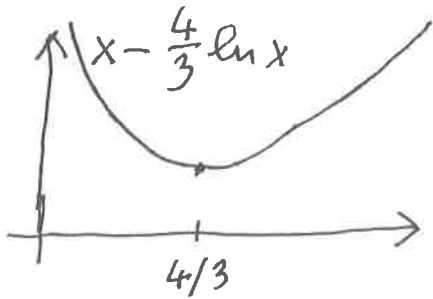
Va teljes int  $\mathbb{R}_+^2$ -en erős Lyapunov függvények bizonyol  $\Rightarrow N$  globálisan vonzó,  $\nexists$  periodikus pálya

Valóban:

$V$  minimumhelye  $(\frac{4}{3}, \frac{1}{3})$ , többi szintvonala zárt görbe, melyeket a trajektóriák mind befelé metszenek:



$$\dot{V}_{(E)}(x,y) = \dots = -\frac{1}{2} \left(x - \frac{4}{3}\right)^2 - \left(y - \frac{1}{3}\right)^2 < 0 \quad \text{ha } \begin{pmatrix} x \\ y \end{pmatrix} \neq \begin{pmatrix} 4/3 \\ 1/3 \end{pmatrix}$$



De miért ezzel a  $V$  függvényel próbálkoztunk?  
Ezért:

$$\left. \begin{aligned} \dot{x} &= x \left(\frac{1}{3} - y\right) \\ \dot{y} &= y \left(-\frac{4}{3} + x\right) \end{aligned} \right\} \Rightarrow \frac{dy}{dx} = \frac{y \left(-\frac{4}{3} + x\right)}{x \left(\frac{1}{3} - y\right)}$$

$$\int \frac{\frac{1}{3} - y}{y} dy = \int \frac{-\frac{4}{3} + x}{x} dx \quad \text{szétválasztható d.e.}$$

$$\Rightarrow \frac{1}{3} \ln y - y = -\frac{4}{3} \ln x + x + \text{const}$$

$N$  körül csupa periodikus pálya

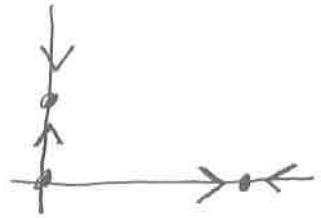


④ Néha az elemi ívelés is elég

IX

$$\begin{cases} \dot{x} = x(4-x-y) \\ \dot{y} = y(1-y+\frac{x}{2}) \end{cases}$$

$\partial \mathbb{R}_+^2$



$$O = \begin{pmatrix} 0 \\ 0 \end{pmatrix} \quad P = \begin{pmatrix} 4 \\ 0 \end{pmatrix} \quad Q = \begin{pmatrix} 0 \\ 1 \end{pmatrix} \quad N = \begin{pmatrix} 2 \\ 2 \end{pmatrix}$$

$P$  felett kicsivel:

$$x \approx 4, y = \varepsilon$$

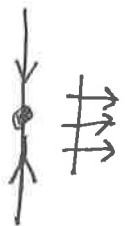


$$\dot{y} \approx \varepsilon(1-\varepsilon+2) > 0$$

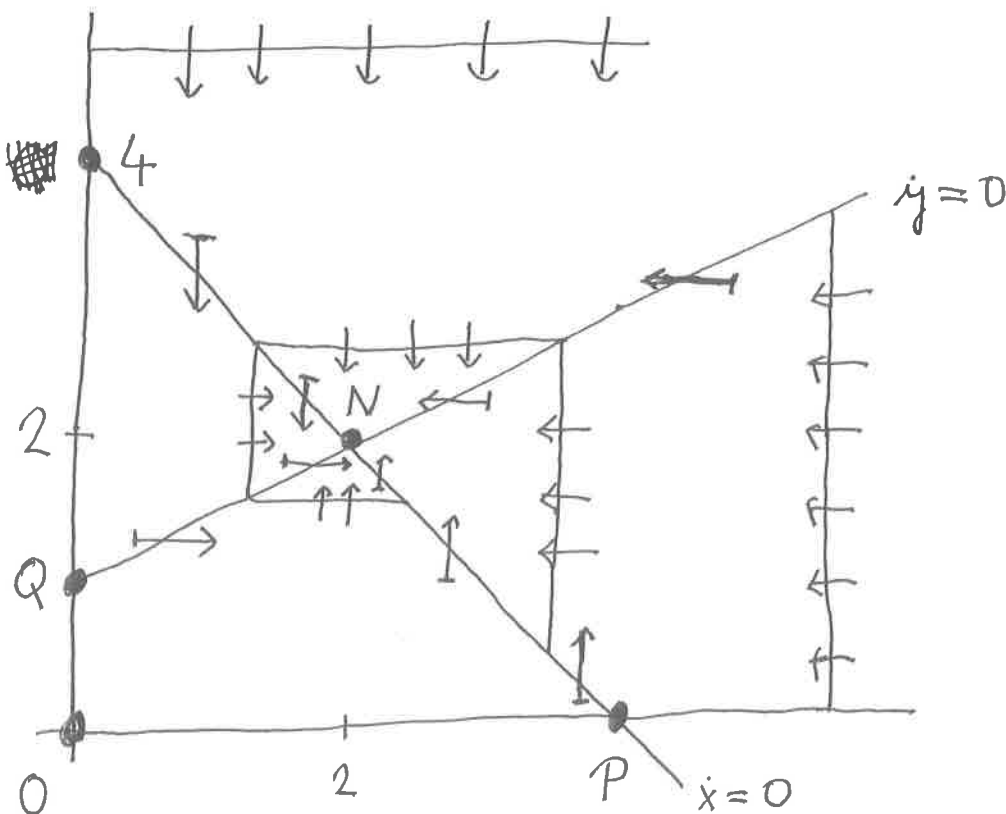
$Q$ -tól jobbra kicsivel:

$$x = \varepsilon, y \approx 1$$

$$\dot{x} \approx \varepsilon(4-\varepsilon-1) > 0$$



$N$  körül és a teljes int  $\mathbb{R}_+^2$ -en:



$N$  globálisan vonzó fókusz  
 $O, P, Q$  nyerev

$$\textcircled{5} \left. \begin{aligned} \dot{x} &= x \left( 1 - \frac{x}{2} - y \right) \\ \dot{y} &= y \left( \frac{3}{2} - x - y \right) \end{aligned} \right\}$$

$$J = \begin{pmatrix} 1-x-y & -x \\ -y & \frac{3}{2}-2y-x \end{pmatrix} \quad \textcircled{X}$$

$$O = \begin{pmatrix} 0 \\ 0 \end{pmatrix}$$

$$P = \begin{pmatrix} 2 \\ 0 \end{pmatrix}$$

$$Q = \begin{pmatrix} 0 \\ 3/2 \end{pmatrix}$$

$$N = \begin{pmatrix} 1 \\ 1/2 \end{pmatrix}$$

$$J(O) = \begin{pmatrix} 1 & 0 \\ 0 & 3/2 \end{pmatrix}$$

$$J(P) = \begin{pmatrix} -1 & -2 \\ 0 & -1/2 \end{pmatrix}$$

$$J(Q) = \begin{pmatrix} -1/2 & 0 \\ -3/2 & -3/2 \end{pmatrix}$$

$$\lambda_1 = \frac{3}{2} \quad \underline{v}_1 = \begin{pmatrix} 0 \\ 1 \end{pmatrix}$$

$$\lambda_1 = -1/2 \quad \underline{v}_1 = \begin{pmatrix} -4 \\ +1 \end{pmatrix}$$

$$\lambda_1 = -1/2 \quad \underline{v}_1 = \begin{pmatrix} 2 \\ -3 \end{pmatrix}$$

$$\lambda_2 = 1 \quad \underline{v}_2 = \begin{pmatrix} 1 \\ 0 \end{pmatrix}$$

$$\lambda_2 = -1 \quad \underline{v}_2 = \begin{pmatrix} 1 \\ 0 \end{pmatrix}$$

$$\lambda_2 = -3/2 \quad \underline{v}_2 = \begin{pmatrix} 0 \\ 1 \end{pmatrix}$$

tasító csomó

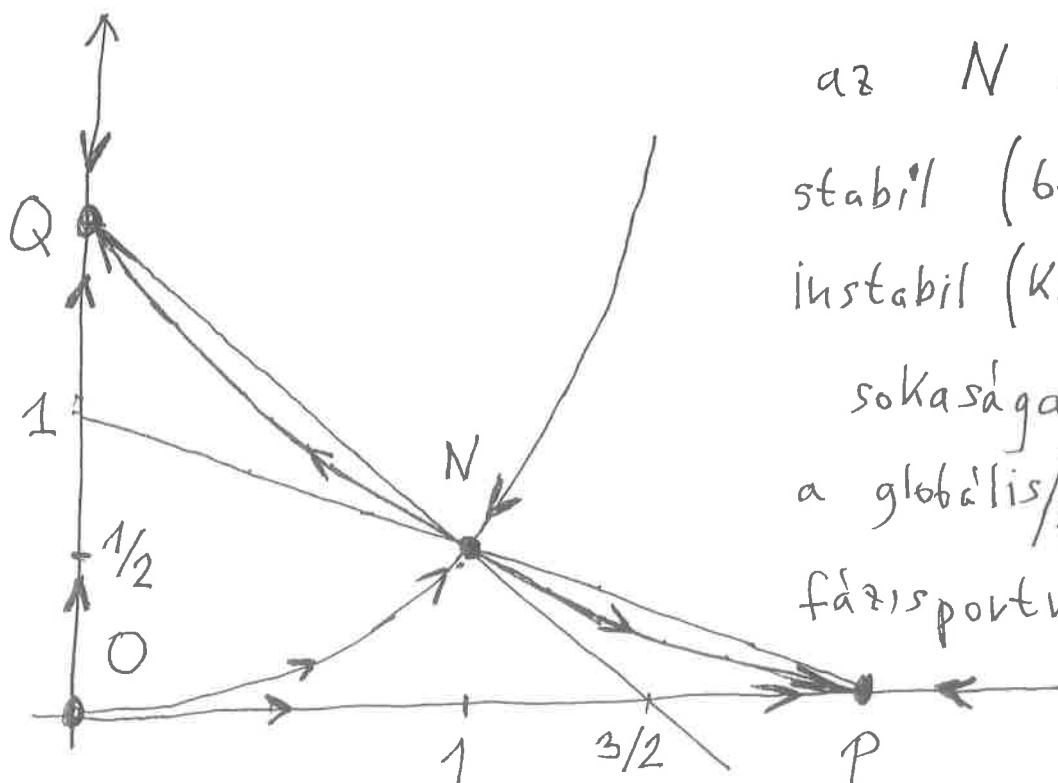
vonzó csomó

vonzó csomó

$$J(N) = \begin{pmatrix} -1/2 & -1 \\ -1/2 & -1/2 \end{pmatrix}$$

$$\lambda_{1,2} = -\frac{1}{2} \pm \frac{1}{\sqrt{2}}$$

$\lambda_1 > 0$   
 $\lambda_2 < 0$  nyelvegypont



az  $N$  nyelvegypont  
stabil (bemenő) és  
instabil (kimenő)  
sokasága mint  
a globális/celjes  
fázisportré lényege

Ez az érdemi végeredmény fokozatosan  $(\text{XI})$   
 alakult ki, az egyensúlyi helyzetek között,  
 lokális fázisportok "összekapcsolásával",

a  $\infty$  távoli pont taszító jellegűre is figyelve.

Évezhető, hogy

N-ből P-be és Q-be

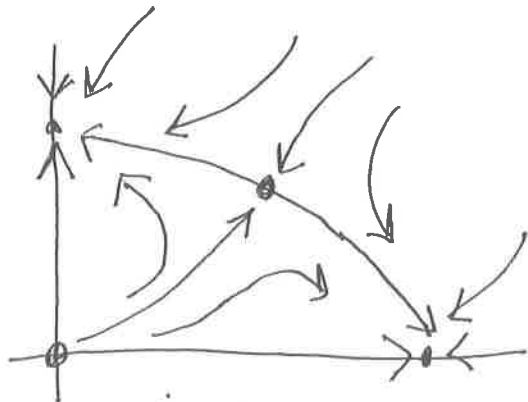
N-be O-ból és a  $\infty$ -ből

megy egy-egy trajektória

Ez már szinte elegendő is.

Ak, a részletes

indoklást is szeretné látni:

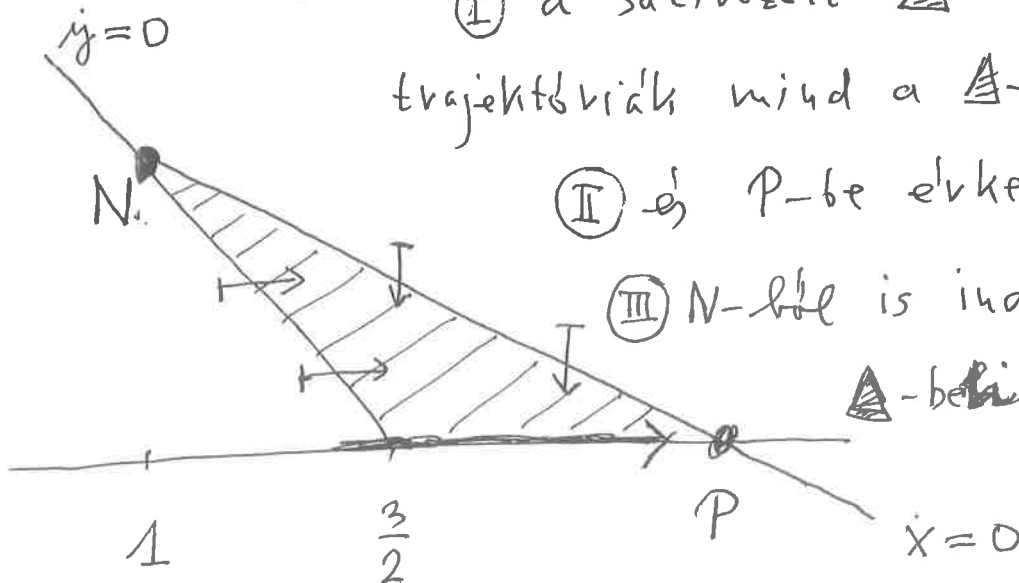


① a sárgászett  $\triangle$ -be bejutó  
 trajektóriák mind a  $\triangle$ -ben maradnak

② és P-be érkeznek

③ N-ből is indul ki a

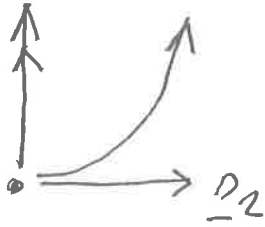
$\triangle$ -ben futó  
 trajektória



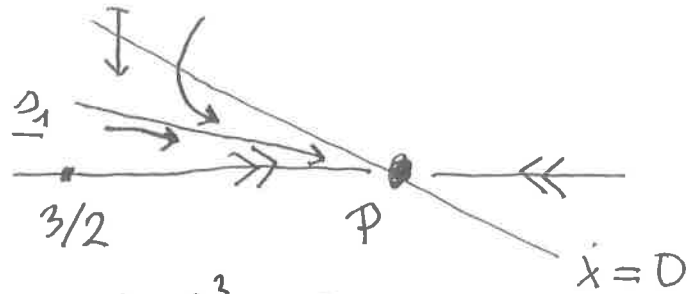
④ ha volna periodikus palya, azon belül volna  
 egyensúlyi helyzet, de ez [már tudjuk] nem lehet

Ha „sifvázni” szeretné valaki az ábrát:

(XII)

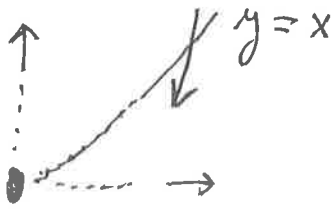


int  $\mathbb{R}_+^2$ -beli  
 trajektoriák 0 körül  
 $p_2$ -hez simulnak



int  $\mathbb{R}_+^2$ -beli  
 trajektoriák P körül  
 $p_1$ -hez simulnak

megj:  $y=x \gg 1 \Rightarrow \dot{y} \approx -2x^2 \ll -\frac{3}{2}x^2 \approx \dot{x} \ll 0$

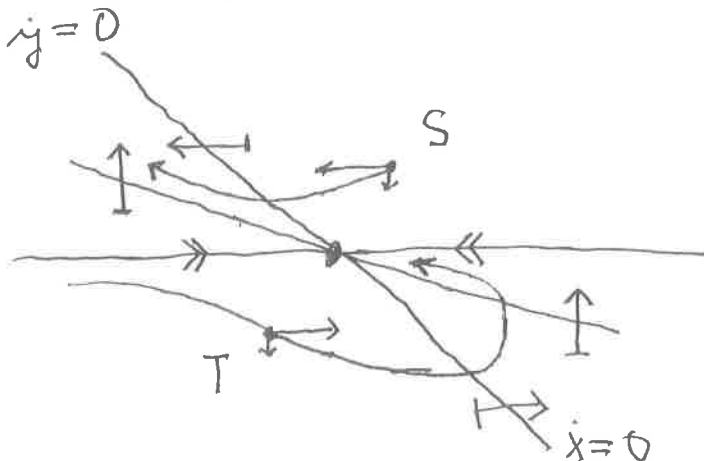


S MOST A  $\mu=2$  BIFURKÁCIÓS  
 PONTHOZ TARTOZÓ KRITIKUS ÁBRA:

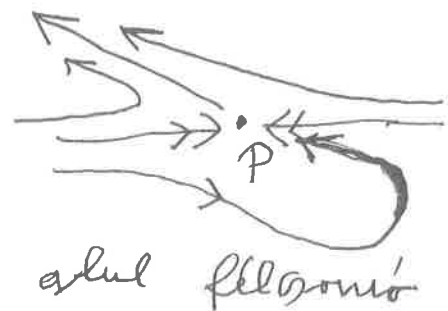
⑥ 
$$\begin{cases} \dot{x} = x(1 - \frac{x}{2} - y) \\ \dot{y} = y(2 - x - y) \end{cases} \quad P = \begin{pmatrix} 2 \\ 0 \end{pmatrix} \quad J(P) = \begin{pmatrix} -1 & -2 \\ 0 & 0 \end{pmatrix}$$

$S = \begin{pmatrix} 2+\varepsilon \\ \varepsilon \end{pmatrix} \Rightarrow \begin{cases} \dot{x} = -\frac{3}{2}\varepsilon(2+\varepsilon) \\ \dot{y} = -2\varepsilon^2 \end{cases}$

$T = \begin{pmatrix} 2-\varepsilon \\ -\varepsilon \end{pmatrix} \Rightarrow \begin{cases} \dot{x} = \frac{3}{2}\varepsilon(2-\varepsilon) \\ \dot{y} = -2\varepsilon^2 \end{cases}$



felül felnyereg



alul felgyomló

[a transzkritikus bifurkáción belül is elfajult eset]

$$\begin{cases} \dot{x} = x(1 - \frac{x}{2} - y) \\ \dot{y} = y(\mu - x - y) \end{cases} \text{ ahol } \mu > 0 \text{ paraméter}$$

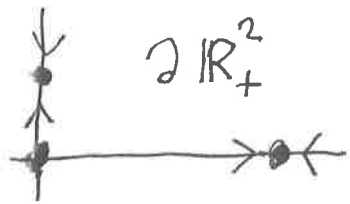
XIII

egyensúlyi helyzetek

$$F = \begin{pmatrix} 1-x-y & -x \\ -y & \mu-2y-x \end{pmatrix}$$

$$O = \begin{pmatrix} 0 \\ 0 \end{pmatrix} \quad P = \begin{pmatrix} 2 \\ 0 \end{pmatrix} \quad Q = \begin{pmatrix} 0 \\ \mu \end{pmatrix} \quad N = \begin{pmatrix} 2\mu-2 \\ 2-\mu \end{pmatrix}$$

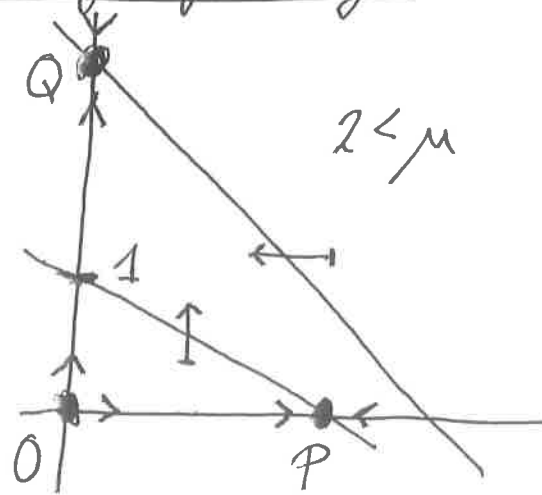
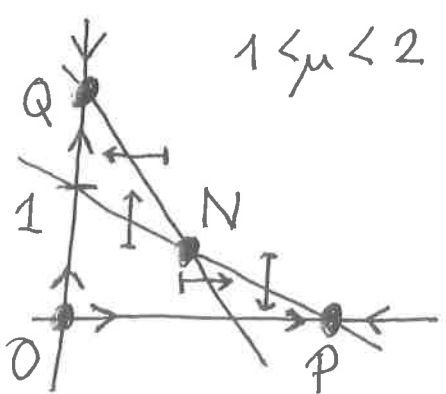
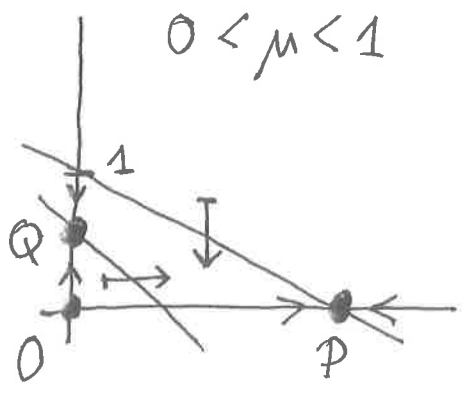
$$F(O) = \begin{pmatrix} 1 & 0 \\ 0 & \mu \end{pmatrix} \quad F(P) = \begin{pmatrix} -1 & -2 \\ 0 & \mu-2 \end{pmatrix} \quad F(Q) = \begin{pmatrix} 1-\mu & 0 \\ -\mu & -\mu \end{pmatrix}$$



$$N \in \mathbb{R}_+^2 \Leftrightarrow \begin{cases} 2\mu-2 \geq 0 \\ 2-\mu \geq 0 \end{cases} \Leftrightarrow 1 \leq \mu \leq 2$$

lokális fázisportok O, P, Q, N körül

és a vektormező néhány további jellegzetessége



int  $\mathbb{R}_+^2$  pontjai körül van:

	0	1	2
P	mindent	csökkenő vész	semmit
Q	semmit	növekvő vész	mindent

Ha  $\mu \geq 0$  növekszik, akkor az  $y$  versenyképessége javul

$$\dot{y} = b_2 y \left(1 - \frac{y}{C_2}\right)$$

$b_2 =$  birth rate

$C_2 =$  carrying capacity

$\mu$  növelése egyenes jelest

$$x(0) = x_0 = 0 \Rightarrow x(t) = 0 \quad \forall t$$

! magasabb nülétési rátát

és a környezet ellátási - képességének növelését

$$J(N) = \begin{pmatrix} 1-\mu & 2-2\mu \\ \mu-2 & \mu-2 \end{pmatrix}$$

$$\lambda^2 - T\lambda + D = 0$$

$$T = -1$$

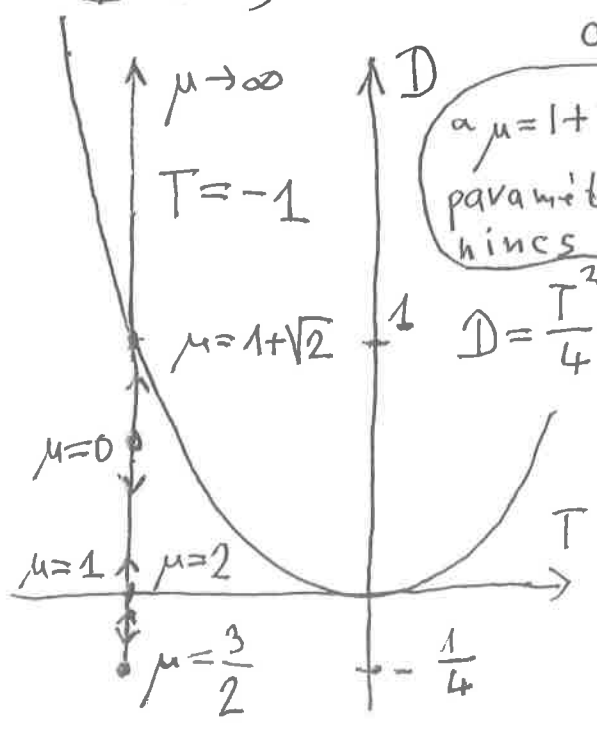
$$D = (\mu-1)(\mu-2)$$

$\exists k: \text{Re } \lambda_k = 0 \Leftrightarrow \begin{cases} \mu=1 : N(\mu) \text{ belép } \mathbb{R}_+^2 \text{-ba} \\ \mu=2 : N(\mu) \text{ kilép } \mathbb{R}_+^2 \text{-ből} \end{cases}$

$\Leftrightarrow$  a linearizálás módra  $N$  körül önmagában nem elegendő

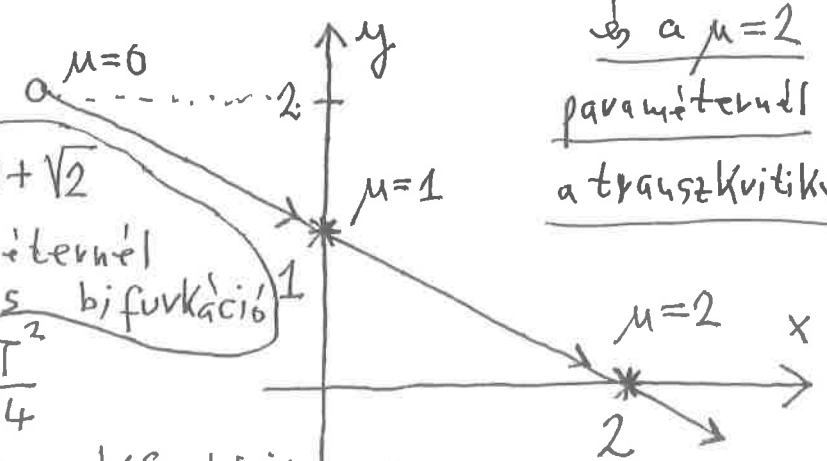
	$1-\sqrt{2}$	1	2	$1+\sqrt{2}$	$\mu$
N	vonzó fókusz	vonzó csomó	nyugvó pont	vonzó csomó	vonzó fókusz

$N = N(\mu)$  mozgása a T-D diagrammon



$N$  mozgása  $\mathbb{R}^2$ -ben

és a  $\mu=2$  paraméternél a transzkritikus



bifurkáció

lényege:

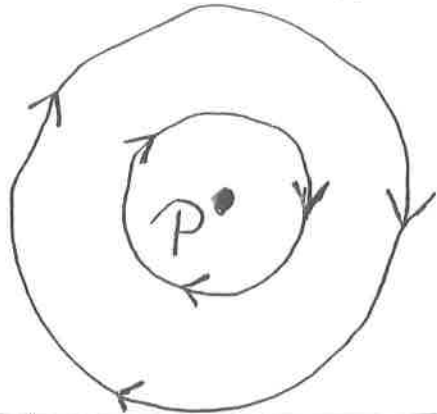
$\mu < 2$        $\mu = 2$        $\mu > 2$

$$\dot{y} = y(\mu - 2 + y)$$

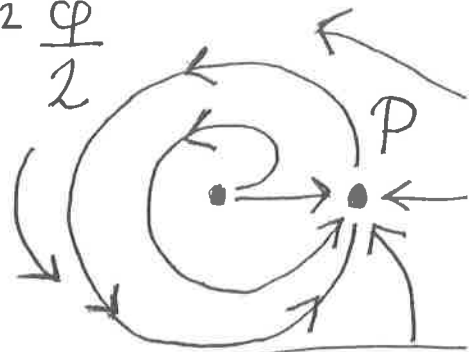
# rögzítés a síkon

stabil csomó/fókusz  $\Leftrightarrow$  vonzó csomó/fókusz  
 instabil csomó/fókusz  $\Leftrightarrow$  taszító csomó/fókusz

általános egyensúlyi helyzetre: stabilitás  $\nrightarrow$  vonzás



$$\left. \begin{array}{l} \dot{r} = 0 \\ \dot{\varphi} = -1 \\ \Downarrow \\ \dot{x} = y \\ \dot{y} = -x \end{array} \right\} \circ \quad \left. \begin{array}{l} \dot{r} = r(1-r) \\ \dot{\varphi} = \sin^2 \frac{\varphi}{2} \end{array} \right\} \circ$$



$x(t) = r(t) \cdot \cos \varphi(t) \quad \& \quad y(t) = r(t) \cdot \sin \varphi(t)$

Tfh  $\left. \begin{array}{l} \dot{x} = f(x) \\ x(0) = x_0 \end{array} \right\} \Leftrightarrow x_{0, x_0}(\cdot) : \mathbb{R} \rightarrow \mathbb{R}^n$

existencia, unicitás  
 folytonos függés

definíciók

megoldó-operátor  $\rightarrow$  megoldásfgv

$\Phi : \mathbb{R} \times \mathbb{R}^n \rightarrow \mathbb{R}^n$   
 $(t, x) \rightarrow x_{0, x}(t) = \Phi(t, x)$

$x_0 \in \mathbb{R}^n$  egyensúlyi helyzet  $\Leftrightarrow f(x_0) = 0 \Leftrightarrow \Phi(t, x_0) = x_0 \quad \forall t$

stabil  $\Leftrightarrow \forall \epsilon \exists \delta$ , hogy  $|x_0 - x| < \delta \Rightarrow |x_0 - \Phi(t, x)| < \epsilon \quad \forall t \geq 0$

vonzó  $\Leftrightarrow \exists \eta_0$ , hogy  $|x_0 - x| < \eta_0 \Rightarrow \Phi(t, x) \xrightarrow{t \rightarrow \infty} x_0$

aszimptotikusan stabil  $\Leftrightarrow$  stabil és vonzó

vonzási tartomány  $\Leftrightarrow \mathcal{A}(x_0) = \{x \in \mathbb{R}^n \mid \Phi(t, x) \xrightarrow{t \rightarrow \infty} x_0\}$

instabil  $\Leftrightarrow$  nem stabil

a XV lap folytatásaként:

XVI

további alapszempontok és  $\left. \begin{array}{l} \text{Bolzano-} \\ \text{-Weierstrass} \end{array} \right\}$  típusú áttelek

$(X, d)$  metrikus tér

$\Phi: \mathbb{R} \times X \rightarrow X$  dinamikus rendszer, ha

(i)  $\Phi$  [mindkét változóban egyszerre] folytonos

(ii)  $\Phi(0, x) = x \quad \forall x \in X$

(iii)  $\Phi(t+s, x) = \Phi(t, \Phi(s, x)) \quad \forall t, s \in \mathbb{R} \quad \forall x \in X.$

$M \subset X$  invariáns halmaz, ha  $\left. \begin{array}{l} \text{azaz ha} \\ x \in M \Rightarrow \Phi(t, x) \in M \quad \forall t \in \mathbb{R} \end{array} \right\} x \in M \Rightarrow \gamma(x) \subset M;$

$\gamma(x) \stackrel{\text{def}}{=} \{ \Phi(t, x) \in X \mid t \in \mathbb{R} \}$  az  $x$ -en átmenő trajektória

$\left. \begin{array}{l} \text{pozitív} \\ \text{negatív} \end{array} \right\}$  féltrajektória:  $\left\{ \begin{array}{l} \gamma^+(x) = \{ \Phi(t, x) \in X \mid t \geq 0 \} \\ \gamma^-(x) = \{ \Phi(t, x) \in X \mid t \leq 0 \} \end{array} \right.$

$\omega(x) = \{ y \in X \mid \exists \{t_n\}_{n=1}^{\infty} \subset \mathbb{R}, \text{ hogy } t_n \rightarrow \infty \text{ és } \Phi(t_n, x) \rightarrow y \}$

$\omega(x)$  neve: az  $x \in X$  pont omega határhalmaza

$\alpha(x) = \{ y \in X \mid \exists \{t_n\}_{n=1}^{\infty} \subset \mathbb{R}, \text{ hogy } t_n \rightarrow -\infty \text{ és } \Phi(t_n, x) \rightarrow y \}$

$\alpha(x)$  neve: az  $x \in X$  pont alfa-határhalmaza

Mostantól kezdve legyen  $X = \mathbb{R}^d$  és  $\Phi: \mathbb{R} \times X \rightarrow X$  din. rendszer.

vagy  $X = M \subset \mathbb{R}^d$  zárt, invariáns rész halmaza



Tétel:  $\gamma^+(x)$  korlátos halmaza  $X$ -ben

XVII

$\Rightarrow \omega(x) \neq \emptyset$   
Korlátos és zárt  
invariáns  
összefüggő } halmaz

és  $d(\Phi(t, x), \omega(x)) \rightarrow 0$  ha  $t \rightarrow \infty$ .

Tétel: a  $d=2 \Leftrightarrow$  síkbeli esetben sokkal több is igaz.

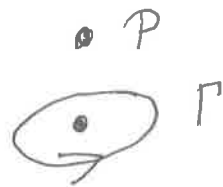
tfh: az egyensúlyi helyzetek száma véges

tfl:  $\gamma^+(x)$  korlátos  $\mathbb{R}^2$ -ben.

$\Rightarrow \omega(x)$  csak háromféle lehet:

[Poincaré - Bendixson]

$\omega(x) = P$  egyensúlyi helyzet



$\Gamma$  periodikus pálya

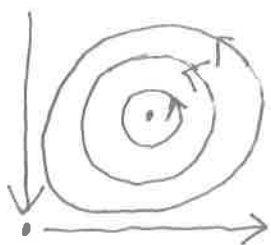
$H$  heteroklinikus köv



továbbá  $\Gamma$  és  $H$  belsejében is létezik egyensúlyi helyzet

Még egy síkbeli tétel: 2D Lotka-Volterra rendszernek

nem lehet olyan periodikus megoldás, amely akár csak az egyik oldalról izolált lenne:



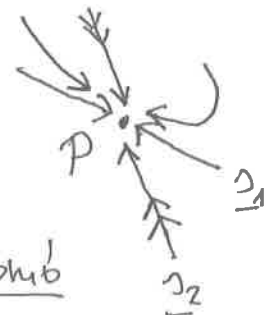
tehát ha  $\exists$  periodikus megoldás,  
akkor  $(0, \infty) \times (0, \infty)$   $K_1$  van töltve (körül.)  
periodikus megoldásokkal egy centrumpontra

példa  $\begin{cases} \dot{x} = y \\ \dot{y} = -x(1-x) - cy \end{cases} \quad c > 2$

egyensúly, helyzetek  $P = \begin{pmatrix} 0 \\ 0 \end{pmatrix}$   $Q = \begin{pmatrix} 1 \\ 0 \end{pmatrix}$   $J_{\text{Jacobi}} = \begin{pmatrix} 0 & 1 \\ -1+2x & -c \end{pmatrix}$

$E(P) = \begin{pmatrix} 0 & 1 \\ -1 & -c \end{pmatrix}$   $\lambda^2 + \lambda c + 1 = 0$   $\lambda_{1,2} = \frac{-c \pm \sqrt{c^2 - 4}}{2} < 0$

$\underline{v}_1 = \begin{pmatrix} 1 \\ \lambda_1 \end{pmatrix}$   $\underline{v}_2 = \begin{pmatrix} 1 \\ \lambda_2 \end{pmatrix}$   $\lambda_2 < \lambda_1 < 0$

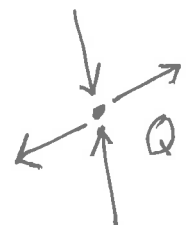


stabil csomópont

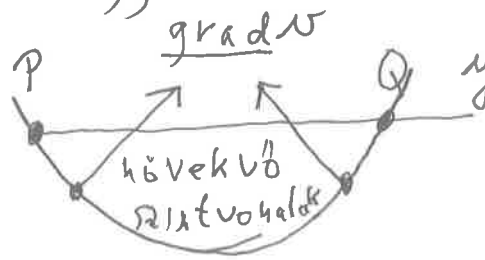
a pályák  $\underline{v}_1$ -hez hajolnak

$E(Q) = \begin{pmatrix} 0 & 1 \\ 1 & -c \end{pmatrix}$   $\lambda^2 + \lambda c - 1 = 0$   $\lambda_{1,2} = \frac{-c \pm \sqrt{c^2 + 4}}{2} \geq 0$

$\underline{v}_1 = \begin{pmatrix} 1 \\ \lambda_1 \end{pmatrix}$   $\underline{v}_2 = \begin{pmatrix} 1 \\ \lambda_2 \end{pmatrix}$  nyeregpont



Most egy Bolzano & Weierstrass típusú érvelés:

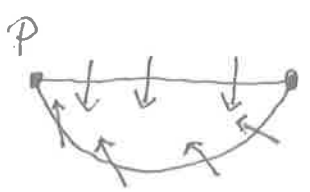


$y = -x(1-x)$   
a holdarcokán belül  
Q össze van kötve P-vel

$V(x,y) = y + x(1-x) = 0$   
 $\text{grad } V = (+1+2x, 1)$

$\langle \text{grad } V, \begin{pmatrix} \dot{x} \\ \dot{y} \end{pmatrix} \rangle = (1+2x)\dot{x} + \dot{y} \Big|_{\substack{\dot{x} = y \\ \dot{y} = -x(1-x)-cy}}$

$= (1+2x)y - x(1-x) - cy \Big|_{y+x(1-x)=0} = y(2-2x-c) > 0$  [ha  $y \neq 0$ ]



és megvan a  $Q \rightarrow P$  összekötés

Alternatív érvelés:

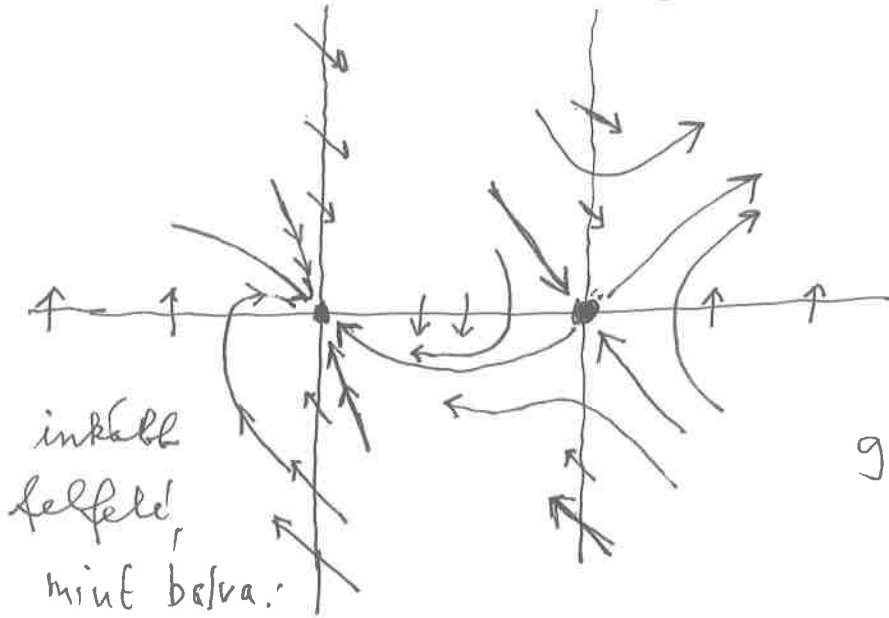
XIX

$$\left. \frac{d}{dt} V(x(t), y(t)) \right|_{t=0} > 0$$

$$V(x, y) = 0 \quad 0 < x < 1$$

"Ljapunov - felület"

Ljapunov - szintvonal



$$\dot{x} = y$$

$$\dot{y} = -x(1-x) - cy$$

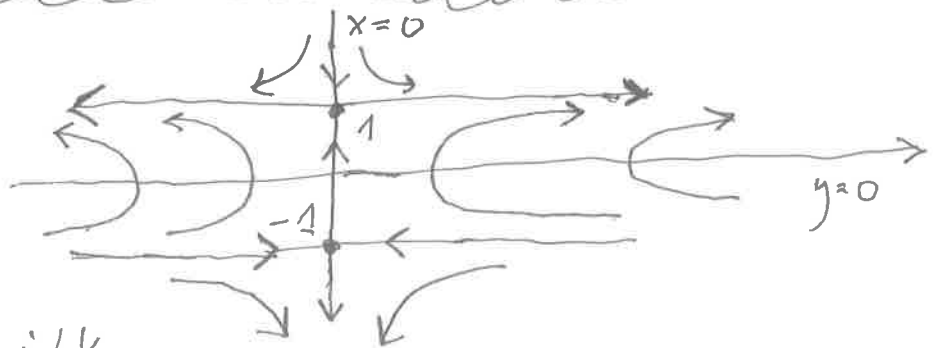
globális fázisportré! [2!]

$$\left[ \begin{array}{cc} -x(1-x) - cy > |y| & \text{a harmadik síknegyedben} \\ \downarrow & \downarrow \\ 0 & 0 \end{array} \right]$$

$$\left[ \begin{array}{l} \text{és a második} \\ \text{és a negyedik síknegyedben sem} \\ \text{rögzíthető} \end{array} \right]$$

$$\dot{x} = xy$$

$$\dot{y} = 1 - y^2$$

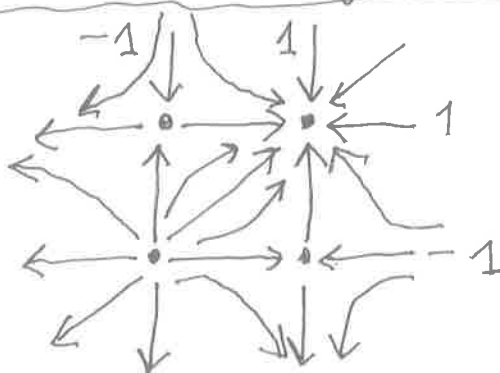


erős szimmetriák:

könnyű az elbuzdulása a globális fázisportrénak is

$$\dot{x} = 1 - x^2$$

$$\dot{y} = 1 - y^2$$



ez is könnyű

Linearizálás } mint az identitáshoz  
 Diszkrétizálás } Pöchlér Koordináta-transzformációk

neny-elfajult egyenleji helyzetek kis környezetében

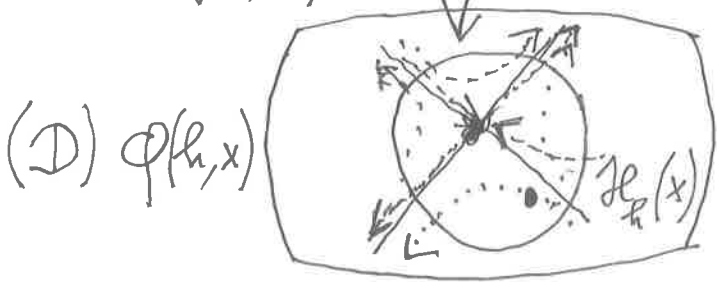
$$A = \begin{pmatrix} -1 & 2 \\ 2 & -1 \end{pmatrix} \quad \lambda_{1,2} = \begin{cases} 1 \\ -3 \end{cases} \quad \underline{v}_1 = \begin{pmatrix} 1 \\ 1 \end{pmatrix} \quad \underline{v}_2 = \begin{pmatrix} -1 \\ 1 \end{pmatrix}$$



$H(U) \quad H \approx id_U$   
 $H(\Phi(t, x)) = e^{At} H(x)$

$\dot{x} = Ax + a(x)$   
 (N)  $\Phi(t, x)$   
 $\dot{x} = Ax$   
 (L)  $e^{At} x$

$H: U \rightarrow H(U)$   
 folytonos,  
 folytonos inverzzel



(D)  $\varphi(h, x)$   
 $H_h(\Phi(h, x)) = \varphi(h, H_h(x))$

$$|\Phi(h, x) - \varphi(h, x)| \leq K_1 h^{p+1} \Rightarrow |H_h(x) - x| \leq K_2 h^p$$



(N)  $\dot{y} = y$   
 $\dot{z} = -z + y^2$   
 (L)  $\dot{y} = y$   
 $\dot{z} = -z$   
 (D)  $Y = y + h y$   
 $Z = z + h(-z + y^2)$

$y=0$  tengely invariáns (N), (L) s (D) -ve

$z = u(y) = \frac{y^2}{3} \quad z=0$   
 $z = u_h(y) = \frac{y^2}{3+h}$

invariáns [instabil alter ill. sokaság]  $|u(y) - u_h(y)| \leq K_3 h^p$

$$\begin{pmatrix} x \\ y \end{pmatrix}' = \begin{pmatrix} a & b \\ c & d \end{pmatrix} \begin{pmatrix} x \\ y \end{pmatrix}$$

$$\det \begin{pmatrix} a-\lambda & b \\ c & d-\lambda \end{pmatrix} = 0$$

$$\lambda^2 - T\lambda + D = 0$$

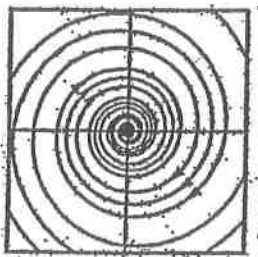
$$\lambda_{1,2} = \frac{T \pm \sqrt{T^2 - 4D}}{2}$$

~~TYPE~~ See Figure 4.1. This yields a geometric classification of  $2 \times 2$  linear systems.

STABIL FOKUS?

$$\lambda_{1,2} = \alpha \pm i\beta$$

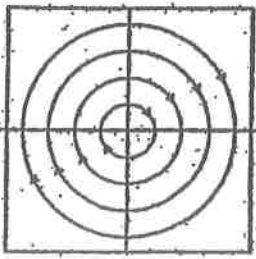
INSTABIL FOKUS?



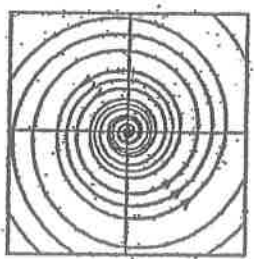
$$T^2 = 4D$$

$\operatorname{Re} \lambda < 0, \operatorname{Im} \lambda \neq 0$

CENTRUM

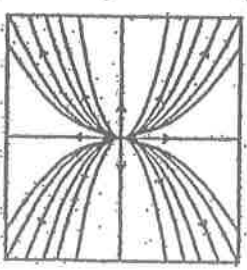


$\operatorname{Re} \lambda = 0, \operatorname{Im} \lambda \neq 0$

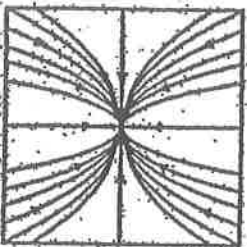


$\operatorname{Re} \lambda > 0, \operatorname{Im} \lambda \neq 0$

INSTABIL CSOMB



$\lambda_1, \lambda_2 > 0$



$\lambda_1, \lambda_2 < 0$

$$\dot{\underline{x}} = \underline{A} \underline{x}$$

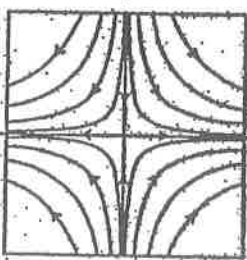
$$\underline{A} = \underline{P} \underline{\Lambda} \underline{P}^{-1}, \quad R = 1, 2, \dots, n$$

valós és /-h, független sajátvektorok



$$\underline{x}(t) = \sum_{R=1}^n c_R e^{\lambda_R t} \underline{p}_R$$

NYÉ REG



$\lambda_1 > 0, \lambda_2 < 0$

$$\begin{aligned} \operatorname{Tr} &= T = a + d \\ \operatorname{Det} &= D = ad - bc \end{aligned}$$

Figure 4.1 The trace-determinant plane. Any resemblance to any of the authors' faces is purely coincidental.

(M. W. HIRSCH, S. SMALE)  
R I NEVIANEV